

ウランにおける電子レベル間遷移確率（II）

井 本 正 介

Transition Probability between Electronic Levels of Atomic Uranium (II)

Shosuke IMOTO

Transition from levels of f^3dsp to those of four configurations with odd parity, f^3ds^2 , f^3d^2s , f^4sp and $f^3ds\ 8s$ were investigated to examine its availability to laser induced excitation of second stage for atomic uranium. The transition probability from several main f^3dsp levels to all levels belonging to four configurations were computed using eigenfunctions obtained by the intermediate coupling scheme calculation. The result showed that nearly all levels of f^3ds^2 , f^3d^2s and f^4sp with large transition probability lie below f^3dsp levels under consideration. This means that these transitions can not be used to the second stage excitation. On the other hand, transition to $f^3ds\ 8s$ was provided with large transition probability for some low-lying levels at $34000 - 36000\ cm^{-1}$ above the ground state. The transition from f^3dsp to $f^3ds\ 8s$ is considered to be promising to the second stage excitation for isotope separation of atomic uranium.

1. はじめに

前報告¹⁾では、中性ウラン原子の基底状態 ($J = 6$) より f^3dsp に属するすべてのレベルへの遷移についてその確率を量子力学的に計算し、その結果を述べた。本報告では次の段階として、 f^3dsp のレベルからさらに高エネルギーのレベルへの遷移について考察する。一般に多数の電子を含む原子では、一つの電子構造に属するレベルの数は多くそのエネルギーは広い範囲にまたがっている。たとえば、計算によれば f^3ds^2 のエネルギーの最大値は $63500\ cm^{-1}$ (7.87 eV) に達し、これは第一イオン化のエネルギー 6.1 eV を越えている。このためレベルのエネルギーの選び方によっては f^3dsp よりも f^3ds^2 の方が高エネルギーを持つものがあるわけで、 f^3dsp より f^3ds^2 への励起も考えられる。

ところで f^3dsp は偶のパリティを持ち、これから励起されるレベルは奇のパリティを持つ必要がある。今まで同定されているレベルの中で奇のパリティを持つものは次の 5 個である²⁾。すなわち、 f^3ds^2 , f^3d^2s , f^4sp , $f^3ds\ 8s$ 及び f^4dp である。このうち最後の f^4dp は f^3dsp から遷移するためには $s \rightarrow f$ が起らねばならないが、これは電気双極子輻射の吸収では起らない。したがって本報告では f^4dp を除く四種の電子構造を取り上げ、 f^3dsp からこれらの電子構造に属する各レベルへの遷移確率を前報と同様の方法で計算した。

f^3dsp に属するレベルの数は $J \geq 6$ のものだけでも 1400 を越え、そのすべてからの遷移

ウランにおける電子レベル間遷移確率（II）

$(8118.632 \text{ cm}^{-1})$ を規準にとり、ここで計算値と実測値とを重ね合わせた。図1は両者が全体としてかなりよく合っていることを示している。

表3は $f^3\text{dsp} \rightarrow f^3d^2s$ の遷移確率を計算した結果である。ただしここでは紙面を節約するため、 $f^3\text{dsp}$ の4個のレベルからの遷移を記載するに止めた。 f^3ds^2 への遷移の場合と同様、遷移確率が0.05を越えるものはすべて $f^3\text{dsp}$ のエネルギーよりも低位に限られている。唯一の例外は4番目の $f^3\text{dsp}$ レベルよりの最後のもの(19362.4)であるが、これとても僅か 430 cm^{-1} 上位にあるもので、第二段励起として使用できるものではない。表3には掲げなかったが、7番目のレベルからも $f^3\text{dsp}$ より上位の f^3d^2s のレベルへの遷移確率が0.05を越えるものが得られている。しかしこの場合もエネルギー差は僅少(256 cm^{-1})である。したがって $f^3\text{dsp} \rightarrow f^3d^2s$ においても強い遷移確率を持つ第二段励起を期待することは望みがないように思える。

図1 f^3d^2s のエネルギー値の実測値と計算値との比較、 $J = 7$ の最低レベルを一致させている。

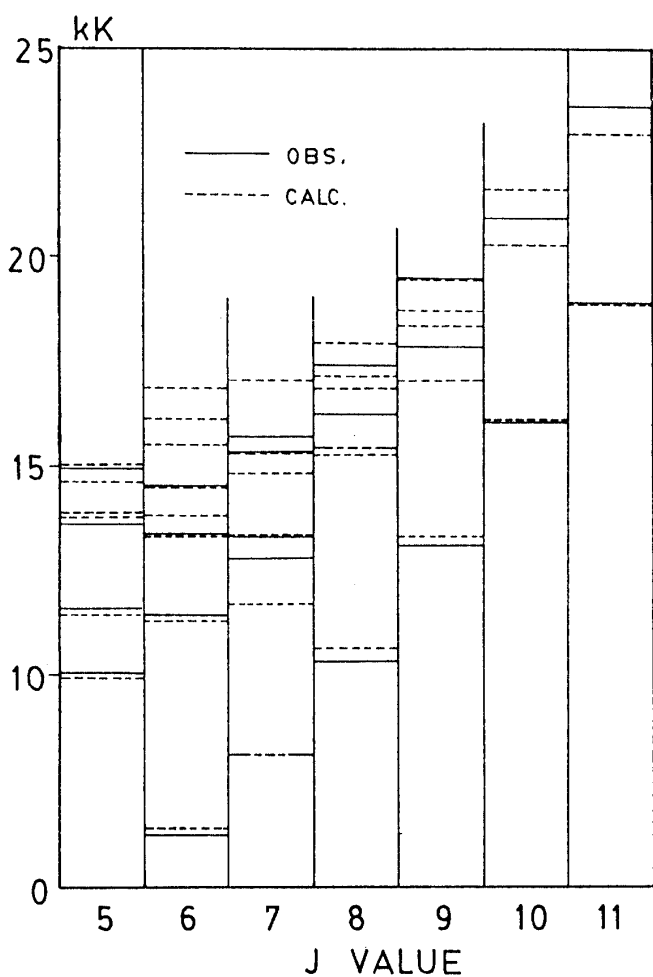


表3 $f^3\text{dsp} \rightarrow f^3d^2s$ の遷移確率

$J = 6$	$E = -42991.1$	(14643.9)
6409.3	6	1.4751
9906.4	5	0.3927
$J = 7$	$E = -41301.4$	(16333.6)
6409.3	6	0.0761
8118.6	7	1.6376
11309.7	6	0.4495
11726.6	7	0.0693
14504.4	6	0.0534
$J = 6$	$E = -40798.7$	(16836.3)
6409.3	6	0.0610
8118.6	7	0.2042
9906.4	5	0.0536
11309.7	6	0.8028
11466.1	5	0.7058
13818.4	5	0.0586
$J = 7$	$E = -38702.4$	(18932.6)
10675.4	8	1.1259
11726.6	7	0.6064
13373.2	7	0.7390
13379.1	6	0.1565
14504.4	6	0.3091
14843.0	7	0.1574
15313.8	7	0.0518
15453.6	8	0.2887
16152.3	6	0.1193
17176.4	8	0.0551
17964.1	8	0.0661
19362.4	8	0.1263

2. 3 $f^3dsp \rightarrow f^4sp$

f^4sp の電子配置に属すると同定されているものは11個に過ぎない。その基底レベルは $22792.372 \text{ cm}^{-1}$ ($J = 4$) であり、同定されている最高のエネルギーレベルは $29187.799 \text{ cm}^{-1}$ ($J = 7$) である。 f^4sp のエネルギーの計算には f^3d^2s と同じパラメーター値を用い、 $\zeta_p = 1500 \text{ cm}^{-1}$ とした。計算結果 ($J \geq 4$) と同じ範囲での実測値との比較を図2に示す。ここでは 26911.987 ($J = 6$) を標準とし、ここで計算値と実測値とを合わせている。これより低エネルギーの $J = 4, 5$ の所では両者間に幾分の差が見られるが、レベルの順序は同じである。また $J = 7$ での値は両者間でよく一致し、 $J = 6$ と $J = 7$ との間に $J = 5$ のレベルを3個はさんでいる点でも一致が見られる。

図2 f^4sp のエネルギー値の実測値と計算値との比較、 $J = 6$ の最低レベルを一致させている。

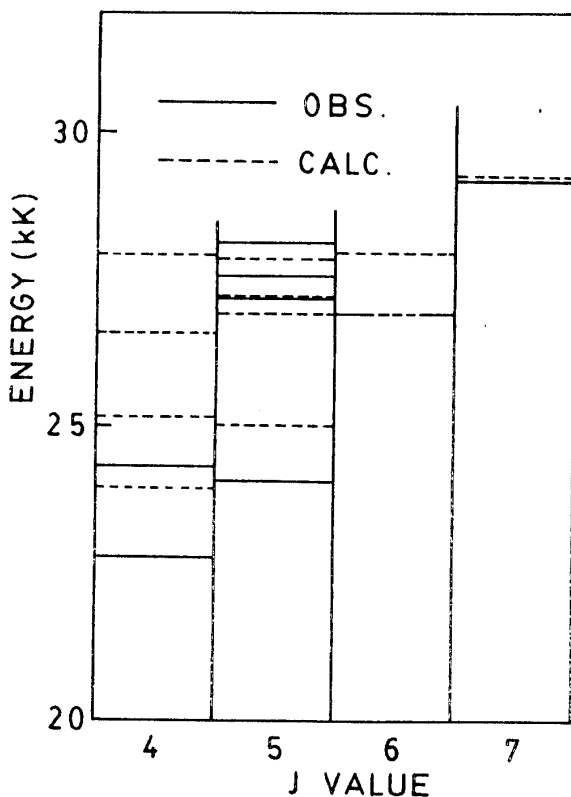


表4 $f^3dsp \rightarrow f^4sp$ の遷移確率

$J = 7 \quad E = -32534.8 \quad (25100.2)$		
30321.6	7	0.1236
30503.2	6	0.1522
31472.6	8	0.0552
32351.1	8	0.0789
39118.9	8	0.0723
$J = 7 \quad E = -32357.2 \quad (25277.8)$		
30503.2	6	0.0868
$J = 7 \quad E = -31899.9 \quad (25735.1)$		
29778.5	6	0.0840
37080.5	7	0.0613
38804.9	8	0.0785
$J = 7 \quad E = -31352.1 \quad (26282.9)$		
29254.6	7	0.0788
30321.6	7	0.0818
30503.2	6	0.0636

遷移確率の計算結果を表4に示す。ここでも遷移確率が0.05を越すもののみを取り上げた。表に見る通り、 f^3dsp の低位の5レベルからは遷移確率が0.05を越すものは見られなかった。5レベルからのもので最も大きい遷移確率は $E = -38702.4 \text{ cm}^{-1}$ からのもので、その値も0.030に過ぎなかった。これに反し、高位の4レベルからはいくつかの比較的大きい遷移確率を持つものが見られた。それらはいずれももとの f^3dsp のエネルギーより高い。しかしその差は最大14000 cm^{-1} 程度であり、遷移確率そのものの値も0.1以下であって、第二段階励起として取上げるべきものとは思われない。なお、 f^4sp の基底レベルは K_4 と同定されており、 L_5 と同定されている f^3dsp の $15720.682 \text{ cm}^{-1}$ からは強い遷移が期待されるが、 K_4 との差は 7071.7 cm^{-1} であり、実用

レベルとして適當な 34000cm^{-1} 前後のレベルに大きな遷移確率のものが見られ、 $f^3\text{dsp} \rightarrow f^3\text{ds}$ 8s 遷移が三段階励起イオン化において第二段励起として有効であることが分る。一方、高位の $f^3\text{dsp}$ からも強い遷移が見られるものの、それらの $f^3\text{ds } 8\text{s}$ レベルのエネルギーはまだイオン化のエネルギーには届かず、二段階励起イオンには適していない。

3. 結 論

中性ウラン原子の基底状態から見て第一段励起状態にある $f^3\text{dsp}$ の中から 9 このレベルを選び、これらからさらに高エネルギーにあるレベルの励起について考察した。この第二段励起状態にある電子配置として、 $f^3\text{ds}^2$, $f^3\text{d}^2\text{s}$, $f^4\text{sp}$, $f^3\text{ds } 8\text{s}$ の四つを選び、それぞれのレベルへの遷移確率を計算した結果、 $f^3\text{ds } 8\text{s}$ への遷移のみが第二段励起として有効なものであることが分った。 $f^3\text{dsp} \rightarrow f^3\text{ds } 8\text{s}$ において遷移確率の大きい $f^3\text{ds } 8\text{s}$ のレベルは 34000cm^{-1} 前後のエネルギーを持ち、三段階励起イオン化における第二段励起として利用し得るものと考える。

今後の問題としては、上記の四つの電子配置以外に有効なものがあるかどうかを探すこと、及び第三段励起 —— これはイオン化に通ずるものであるが —— の遷移確率を計算することである。

参 考 文 献

- 1) 井本正介, 福井工大研究紀要 21 (1991) 231
- 2) J. Blaise and L. J. Radziemski, Jr., J. Opt. Soc. Am. 66 (1976) 644

(平成3年10月24日受理)